УДК 578.0888 БИОФИЗИКА

## Е. М. МИЛЬ, С. К. ЗАВРИЕВ, Г. Л. ГРИГОРЯН, К. Е. КРУГЛЯКОВА

## ИЗУЧЕНИЕ СТРУКТУРНЫХ НЕРЕХОДОВ СПИН-МЕЧЕНОЙ ДНК

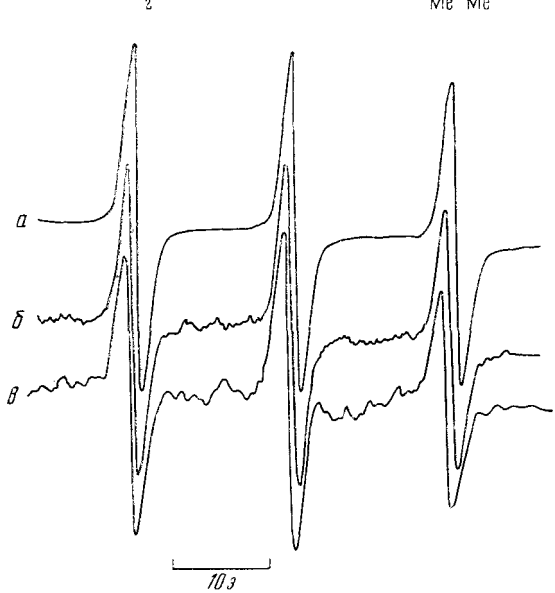
(Представлено академиком Н. М. Эмануэлем 20 IV 1972)

В последние годы метод спиновых меток (и зондов) широко используется для изучения конформационных переходов в белках и ферментах (1-3). Что касается нуклеиновых кислот, то в литературе имеется пока ограниченное число работ (2-4), хотя перспективность использования этого метода для анализа структурных переходов в таких сложных макромолекулах бесспорна.

В настоящей работе показана возможность использования спин-меченого этиленимина (смЭИ) (4(β-N-этиленимино-проинонил)-окси-2.2,6,6,

 $\begin{array}{c} \text{CH}_2 \\ \text{CH}_2 \\ \text{CH}_2 \\ \end{array} \text{N-CH}_2 - \text{CH}_2 - \begin{array}{c} \text{O} \\ \text{II} \\ \text{C} - \text{O} \end{array} - \begin{array}{c} \text{Me Me} \\ \text{N} - \text{O} \end{array}$ 

Рис. 1. Структурная формула спин-меченого этиленимина и его спектры э.п.р. а в ацетатном буфере рН 5,5; 6 — после присоединения к ДНК, выделенным из тимуса теленка и селезенки крыс;  $\theta$  — после присоединения ДНК, выделенной из опухоли селезенки крыс, зараженных эритромпелозом



тетраметилипперидин-1-оксил) (5) для изучения конформационных переходов в ДНК, выделенной из различных органов и тканей. Были использованы препараты ДНК № 1 (из тимуса теленка), ДНК № 2 (из опухоли селезенки крыс, зараженных эритромиелозом); ДНК № 3 (из селезенки здоровых крыс). Препараты ДНК выделяли по методу Зьюби и Доти с последующей депротеннизацией по Кэю (6). Приводим основные характеристики исходных препаратов соответственно для ДНК № 1, № 2, № 3:

Содержание белка, %	3	3	1
$Ep_{260 \text{ M}\mu}$	6200	7000	6200
Концентрация, µг/мл	900	900	970

Реакцию присоединения смЭИ к ДНК проводили в 0.15~M ацетатном буфере рН 5.6 при  $22^\circ$  в течение 40 час.; остаток непрореагировавшей метки удаляли истощающим диализом; количество метки, связанной с ДНК, определяли сравнением спектров меченой ДНК, выдержанной в 0.2~N NaOH, с эталонным спектром. Электронномикроскопические фотографии, показатель нативности, а также у.-ф. спектры поглощения спинмеченой ДНК соответствовали нативной ДНК. На ДНК после диализа оставалось 1-2% связанной метки. Спектры всех трех препаратов спин-меченой ДНК в ацетатном буфере при  $22^\circ$  представляют собой слегка уширенный триплет со временем корреляции  $\tau_c = 4.5 \cdot 10^{-10}$  сек. (рис. 1). Обра-

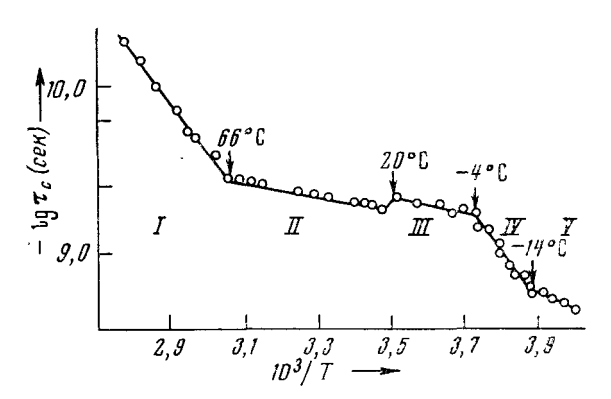


Рис. 2. Зависимость  $-\lg \tau_c$  от  $1/T^\circ$  K для спин-меченой ДНК тимуса теленка в интервале температур от -20 по  $100^\circ$ 

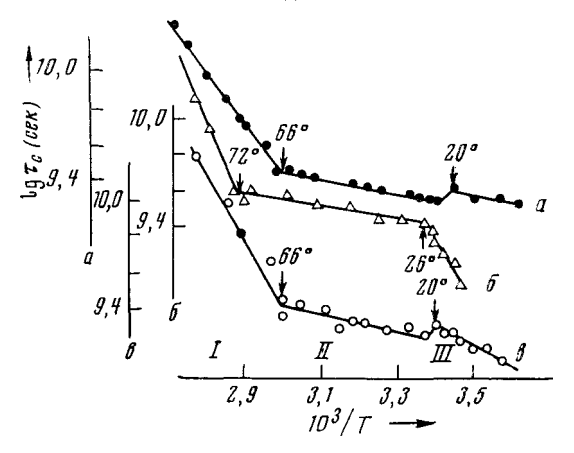


Рис. 3. Зависимость  $-\lg \tau_c$  от  $1/T^\circ$  K для спинмеченых ДНК: a — тимуса теленка,  $\delta$  — опухоли селезенки крыс, зараженных эритромиелозом,  $\epsilon$  — селезенки крыс

ботка спектров проводилась согласно (7). Оценка расстояния между метками, сделанная по (8), свидетельствует об отсутствии взаимолействия межлу парамагнитными пентрами. Для ДНК № 1 была снята зависимость времени корреляции метки (т.) от температуры в интервале температур от 20 по Поведение метки при измерении температуры может быть описано уравне-Аррениуса  $\tau_c =$  $= \tau_0 \exp(E_{a\phi\phi}/RT)$ . гле  $\tau_c$  — время корреляции, τ<sub>0</sub> — предэкспоненциальный множитель, эффективная энергия активации. На рис. 2 приведена зависимость —  $\lg \tau_c$  от 1 / Т°К, которая позволяет выделить пять линейных участков. Энергии активации, вычисленные по линейным участкам I, II, III, IV, V, приведены в табл. 1; этим участкам соответствуют 4 особые точки при  $-14^{\circ}$ ,  $-4^{\circ}$ ,  $+20^{\circ}$ ,  $+66^{\circ}$ . Ошибка В измерении  $E_{\theta\phi\phi} \pm 0.5$  ккал/моль г.

Существенную роль в некоторых из этих переходов может играть вода, структурно связанная с

макромолекулой ДНК. В настоящем случае наличие фазовых переходов при -14 и  $-4^{\circ}$ , по-видимому, можно связать именно с изменением физических свойств воды. В пользу этого свидетельствуют работы Привалова ( $^{9}$ ), в которых эти переходы определены методом колориметрирования. Точка  $-4^{\circ}$  приписывается образованию айсбергов раствора, а  $-14^{\circ}$  — плавлению структурированной воды в гидрооболочке ДНК. Близкие по значению точки переходов обнаружены ранее методом спинового зонда в работах ( $^{4}$ ).

Изменения, наблюдаемые в интервале положительных температур, могут быть сопоставлены с границей функциональной активности ДНК. Из-

вестно, что с  $20^{\circ}$  ДНК начинает проявлять свою биологическую активность, а при температурах выше  $60^{\circ}$  начинается процесс «плавления» ДНК, приводящий к денатурации всей молекулы.

Было проведено сравнительное изучение структурных изменений молекулы ДНК различного происхождения в положительном температурном интервале от  $10-90^\circ$  (рис. 3). На кривой зависимости  $-\lg \tau_c$  от 1/T °К можно выделить три линейных участка с точками переходов, образующих низкотемпературную форму (участок III), область «биологически активной» молекулы (участок II), высокотемпературную форму молекулы ДНК

Таблица 1

TTX 1.2	$E_{\partial \pmb{\phi} \pmb{\phi}}$ (ккал/моль $\cdot$ г)					
днк І	II	III	IV	V		
№ 1 № 2 № 3	11,5 19,8 12,6	$\begin{array}{c} 1,7\\2,1\\2,0 \end{array}$	3,7 13,8 4,8	11,5	3,3	

(участок I). Точки пересечения прямых I-II и II-III для ДНК №№ 1 и 3 равны соответственно 20 и 66°, а для ДНК № 2 26 и 72°.

Следует отметить наличие хорошо воспроизводимого перехода при 20°, для которого характерно скачкообразное замедление вращательной подвижности спин-метки.

Значение  $E_{2\phi\phi}$ , приведенное в табл. 1, показывает, что в области II, названной нами областью «биологически активной» молекулы, реализуется минимальная эффективная энергия активации (1—2 ккал/моль), одинаковая для всех трех ДНК. Подобные энергии активации свидетельствуют о жесткой стабильной структуре, мало меняющей свою конформацию под действием температурного скачка. Именно в этом интервале, вероятно, могут происходить динамические процессы разрыва и восстановления водородных связей.

Возрастание энергии активации при переходе в более высокую или низкую температурную область свидетельствует о конформационных изменениях в структуре ДНК. Эти переходы, по-видимому, могут быть связаны со скачкообразным изменением числа витков спирали, приходящегося на единицу длины молекулы ДНК; не исключено, что изменение молекулы, происходящее при 20°, приводит к структурному соответствию ДНК и белка, необходимому для биологического функционирования нуклеопротеида. Переход при 66° можно связать с так называемыми предденатурационными изменениями структуры ДНК, которые отмечались в ряде работ (10, 1).

Как видно из рис. З и табл. 1, наблюдается существенное отличие поведения ДНК из опухолевой ткани (ДНК № 2) от ДНК из нормальных тканей (ДНК № 1, ДНК № 3). ДНК № 2 отличается как более высокими значениями энергий активаций на участках I и III, так и более высокими температурами фазовых переходов (26 и 72°). Этот факт представляет самостоятельный интерес и будет дополнительно изучен и обсужден в дальнейшем.

Таким образом, использование метода спиновой метки позволило обнаружить 4 точки фазового перехода для ДНК, выделенной из нормальной ткани, и выявить некоторые различия в поведении молекул ДНК из нормальных и опухолевой ткани при изменении температуры.

Авторы выражают искреннюю благодарность акад. Н. М. Эмануэлю за внимание и интерес к работе.

Институт химической физики Академии наук СССР Москва Поступило 20 IV 1972

## ЦИТИРОВАННАЯ ЛИТЕРАТУРА

<sup>1</sup> О. Н. Griffith, A. S. Waggoner, Account Chem. Res.. 2, № 1 (1969) <sup>2</sup> І.С.Р. Smith, T. Iamone, Proc. Nat. Acad. Sci. U.S.A., 58, № 3, 884 (1967). <sup>3</sup> В. Ноffman, P. Schofield, A. Rich, ibid., 62, № 4, 1195 (1969). <sup>4</sup> Б. И. Сухоруков, А. А. Козлова, Биофизика, 15, в. 3, 539 (1970); Б. И. Сухоруков, Л. А. Козлова и др., ДАН, 177, № 2, 454 (1967). <sup>5</sup> А. Б. Шапиро, В. И. Сускинаи др., Изв. АН СССР, сер. хим., 1969, 2828; Е. М. Миль, Г. Л. Григорян и др., Тез. симп. Свободнорадикальные состояния и их роль при лучевом поражении и злокачественном росте, М., 1971. <sup>6</sup> G. Zubay, P. Doty, J. Am. Chem. Soc., 78, 6207 (1956); Е. R. М. Кау, N. S. Simmons, A. A. Dounce, J. Am. Chem. Soc., 74, 1724 (1952). <sup>7</sup> А. Л. Бучаченко, А. М. Вассерман, ЖСХ, 8, 24 (1967). <sup>8</sup> А. И. Кокорин, К. И. Замараев, Г. Л. Григорян и др., Биофизика, 17, № 1, 34 (1972). <sup>9</sup> П. Л. Привалов, К. А. Кафиани и др., В сборн. Нукленновые кислоты, Тр. И конфер. по нуклеиновым кислотам, М., 1966. <sup>10</sup> D. Luzzati, A. Nicolaeff, F. Mason, J. Mol. Biol., 3, 185 (1961).